# 椒目油的 β-环糊精包合工艺研究

王宏阳1,蒋剑平1,2\*,盛云杰1,陈 华2,熊耀康1

- 1. 浙江中医药大学, 浙江 杭州 310053
- 2. 浙江省中医院, 浙江 杭州 310007

摘 要:目的 考察用 β-环糊精包合椒目  $CO_2$  超临界萃取油的工艺条件。方法 以包合物收率和油利用率的综合评分作为评价指标,选择椒目油与 β-环糊精的用量比、包合温度及搅拌时间为主要影响因素,进行  $L_9(3^4)$  正交试验,优化包合椒目油的工艺条件。结果 最佳包合工艺条件为椒目油与 β-环糊精的用量比 1:8,包合温度 50  $\mathbb C$ ,搅拌时间 3 h。结论 椒目油的 β-环糊精包合工艺合理、可行,有效地提高了椒目油的稳定性。

关键词: 椒目油; CO<sub>2</sub>超临界流体萃取; β-环糊精; 包合工艺; 正交试验

中图分类号: R283.6 文献标志码: B 文章编号: 0253 - 2670(2011)03 - 0491 - 04

## Inclusion technology of zanthoxylum seed oil by $\beta$ -cyclodextrin

WANG Hong-yang<sup>1</sup>, JIANG Jian-ping<sup>1, 2</sup>, SHENG Yun-jie<sup>1</sup>, CHEN Hua<sup>2</sup>, XIONG Yao-kang<sup>1</sup>

- 1. Zhejiang University of Traditional Chinese Medicine, Hangzhou 310053, China
- 2. Traditional Chinese Medicine Hospital of Zhejiang Province, Hangzhou 310007, China

Key words: zanthoxylum seed oil; supercritical CO<sub>2</sub> fluid extraction technology; β-cyclodextrin; inclusion technology; orthogonal test

椒目为芸香科花椒属植物花椒 Zanthoxylum bungeanum Maxim. 的干燥成熟种子[1],是花椒的副产物,我国大部分地区均有分布。现代药理研究表明,椒目油及其制剂具有支气管扩张、抗过敏、抗炎、镇咳、祛痰和抗应激作用 $^{[2-3]}$ 。本课题组以 α-亚麻酸提取量和椒目油总萃取得率为指标,采用正交设计法优选了椒目超临界  $CO_2$ 流体萃取条件,萃取得到椒目油 $^{[4]}$ ,并制备成椒目油复方制剂"椒枝软胶囊",该制剂具有较好的平喘、镇咳、抗炎等作用 $^{[5]}$ 。为了提高椒目油的溶解度、稳定性,使液体药物粉末化以便于制成质量稳定可控的固体制剂,本实验采用饱和水溶液法将椒目  $CO_2$ 超临界萃取油制成  $\beta$ -CD 包含物,并运用  $L_9(3^4)$ 正交试验法优选了最佳包合工艺,为椒目  $CO_2$ 超临界萃取油制成各类固体制剂提供实验依据。

#### 1 仪器与试药

HA221—40—11 型超临界萃取装置(南通市华安超临界萃取有限公司);挥发油测定器(宁波宁海

玻璃仪器厂); DF—101S 型集热式恒温加热磁力搅拌器 (巩义市英峪予华仪器厂); DHG—9023A 型电热恒温鼓风干燥箱 (上海精宏实验设备有限公司); 岛津 UV—2550 型紫外分光光度仪 (日本); 岛津 IRPrestige—21 型傅立叶变换红外光谱仪 (日本); 岛津 XRD—6000 型 X 射线衍射仪 (日本)。

β-CD(上海伯奥生物科技有限公司,批号080123); 其他试剂均为分析纯。

### 2 方法与结果

## 2.1 椒目油的超临界 $CO_2$ 萃取<sup>[4]</sup>

取 40 目椒目药粉 3.5 kg,投入超临界萃取釜中,设定萃取条件:萃取温度 45  $\mathbb{C}$ ,萃取压力 30 MPa,分离釜 I 压力 8 MPa,分离釜 II 压力 5.5 MPa,分离釜 I 温度 35  $\mathbb{C}$ ,分离釜 II 温度 30  $\mathbb{C}$ ,CO<sub>2</sub>流量 45 kg/h 进行萃取,得淡黄色的椒目油,萃取率为 12.0%,椒目油  $\alpha$ -亚麻酸质量分数为 20%。

## 2.2 椒目油 β-CD 包合工艺

**2.2.1** 预试验 (1) 研磨法: 称取 β-CD 6.0 g, 加

收稿日期: 2010-06-11

基金项目: 浙江省科技计划重大项目(2008C13005)

作者简介: 王宏阳(1985一), 男,硕士研究生,研究方向为中药制剂质量标准研究。

\*通讯作者 蒋剑平 Tel: (0571)86611022 E-mail: jiangjp\_zjtcm@yahoo.com.cn

4 倍量蒸馏水研匀后,缓缓加入 1 mL 椒目油,研磨 2 h 致均匀糊状,抽滤,包合物用乙醚洗涤 3 次,40 ℃烘干,称定。(2)饱和水溶液法: 称取 β-CD 6.0 g,加 50 mL 蒸馏水,70 ℃加热搅拌溶解,冷却至 40 ℃,置 40 ℃恒温磁力搅拌器上,缓缓滴加 1 mL 椒目油,恒温搅拌 2 h,冷却至室温,冷藏 24 h,抽滤,包合物用乙醚洗涤 3 次,40 ℃烘干,称定。

按上述方法分别制备 3 组包合物,称定质量, 计算其收率;再用水蒸气蒸馏法提取包合物中的挥 发油,计算挥发油利用率。研磨法包合物平均收率 为 90.18%,挥发油平均利用率为 57.30%;饱和水 溶液法包合物平均收率为 90.54%,平均油利用率为 71.94%。饱和水溶液法的挥发油利用率明显高于研 磨法,因此,本研究采用饱和水溶液法制备椒目油 的 β-CD 包合物。 2.2.2 试验设计 通过预试验及查阅文献资料  $^{[6]}$ 可知,影响β-CD饱和水溶液法包合工艺的主要因素有:β-CD与椒目油用量比(A)、包合温度(B)、搅拌时间(C);因素水平见表 1。按  $L_9(3^4)$ 正交表安排试验,以包合物收率和油利用率为指标,采用综合评分(综合评分=包合物收率×0.3+油利用率×0.7)法筛选最佳包合工艺条件,结果见表 2。

表 1 因素水平 Table 1 Factors and levels

水平	l	因 素	
水工	A	$B  / {}^{\circ}\! \mathbb{C}$	C / h
1	6:1	30	1.0
2	8:1	40	2.0
3	10:1	50	3.0

表 2 椒目油 β-CD 包合正交试验结果

Table 2 Orthogonal test results of β-CD inclusion for zanthoxylum seed oil

			0	•	•		
试验号	A	В	С	D	包合物收率/%	油利用率/%	综合评分
1	1	1	1	1	84.09	75.76	78.26
2	1	2	2	2	71.85	83.34	79.89
3	1	3	3	3	76.40	40.91	51.56
4	2	1	2	3	68.51	83.34	78.89
5	2	2	3	1	82.05	50.00	59.62
6	2	3	1	2	64.23	33.33	42.60
7	3	1	3	2	84.43	60.61	67.76
8	3	2	1	3	79.28	60.61	66.21
9	3	3	2	1	75.48	50.00	57.64
$\overline{K}_1$	69.903	74.970	62.357	65.173			
$\overline{K}_2$	60.370	68.573	72.140	63.417			
$\overline{K}_3$	63.870	50.600	59.647	65.553			
R	9.533	24.370	12.493	2.136			

- 2.2.3 试验方法 取椒目油1 mL,加3 mL 乙醇溶解。按正交试验中椒目油与β-CD用量比称取β-CD,置于具塞锥形瓶中,加50 mL 蒸馏水溶解,恒温搅拌,用注射器缓缓滴加入椒目油乙醇溶液,搅拌至规定时间,取出,冷藏静置24 h,抽滤,干燥,即得。
- 2.2.4 包合物收率、挥发油利用率的测定 准确称取干燥包合物适量,置圆底烧瓶中,加20倍量水,水蒸汽蒸馏提取挥发油约6h,至刻度管中挥发油不再增加,停止加热,冷却,读数,折算成包合物中实际含油量。

包合物收率=包合物质量/(β-CD 质量+油质量) 油利用率=包合物中挥发油量/投油量

- **2.2.5** 正交试验结果分析 从正交试验结果直观分析可知,影响综合评分的 3 个因素的程度顺序依次为 B>C>A; 由方差分析(表 3)结果可知,B 和 C 对试验结果有显著影响,其中 B 的影响更显著; A 对试验结果无显著影响。结合实际生产,确定最佳包合工艺为  $A_1B_1C_2$ ,即加椒目油 6 倍量的  $\beta$ -CD,包合温度 30 °C,搅拌时间 2.0 h。
- **2.2.6** 验证性试验 按正交试验优选工艺 A<sub>1</sub>B<sub>1</sub>C<sub>2</sub> 进行包合,包合物于 50 ℃恒温干燥 4 h。取适量包

表 3 方差分析结果
Table 3 Analysis of variance

方差来源	离差平方和	自由度	F 值	显著性
A	139.536	2	17.898	
В	957.855	2	122.865	P < 0.01
C	259.141	2	33.240	P < 0.05
D (误差)	7.800	2		

 $F_{0.05}(2,2) = 19.00$ ,  $F_{0.01}(2,2) = 99.00$ 

合物,按"2.2.4"项下操作,计算包合物收率和油利用率,重复3次,包合物平均收率为91.70%,RSD为0.87%;平均油利用率为75.69%,RSD为1.3%。

#### 2.3 椒目油包合物验证与鉴别

2.3.1 紫外分光光度法(UV) 样品1:取包合前 椒目油,加无水乙醇溶解,滤过除去不溶物,滤液 定容至 25 mL。样品 2: 取包合物适量,用水蒸气 蒸馏法提取挥发油,将提取所得挥发油,用无水硫 酸钠干燥后,无水乙醇溶解、定容至 25 mL。样品 3: 取包合物适量,用无水乙醇溶解,滤过,滤液定 容至 25 mL。样品 4: 取 β-CD 适量,用无水乙醇溶 解,滤过,滤液定容至 25 mL。在 200~400 nm 波 长测定各样品的吸收图谱,结果见图 1。包合前椒 目油与包合物的紫外吸收光谱明显不同, 而与从包 合物中提取的挥发油的紫外吸收图谱相似, 说明椒 目油已经包合进入 β-CD 分子内部,形成了稳定的 包合物,椒目油中主要成分在包合过程中没有受到 影响。包合物与 β-CD 的紫外吸收图谱峰形基本相 同,说明椒目油与 β-CD 并非简单的混合,而是被 包合进入 β-CD 分子内部, 椒目油紫外吸收被掩盖。 从上述分析可知,椒目油包合物已形成,且包合前 后椒目油的成分没有发生变化。

2.3.2 红外光谱法(IR) 制备 3 份样品: 椒目油 和 β-CD 混合物采用 KBr 压片后作为样品 1; 椒目油 β-CD 包合物粉末采用 KBr 压片作为样品 2; 空白 β-CD 采用 KBr 压片后作为样品 3。将 3 份样品在 4 000~400 cm<sup>-1</sup> 波数测定其红外吸收光谱,比较包合前后红外区吸收峰的变化<sup>[7]</sup>,测定结果见图 2。

椒目油在 1 706、1 649 cm<sup>-1</sup> 处的特征吸收峰在物理混合物中仍然存在,而在包合物中该位置的吸收峰明显减弱,说明所得包合物并非是椒目油与β-CD 的物理混合,而是形成了新的物象,包合物已经形成。包合物与空白β-CD 红外吸收特征相似,如在 578、1 028、1 079、1 156 cm<sup>-1</sup> 处两者都有吸收峰,且峰形相同,这是由于椒目油包合于β-CD

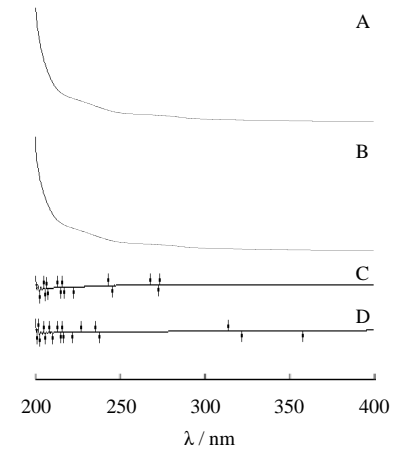


图 1 包合前椒目油(A)、包合物中椒目油(B)、包合物(C)、 环糊精(D)的紫外吸收图谱

Fig. 1 UV spectra of zanthoxylum seed oil before inclusion (A), zanthoxylum seed oil extracted from inclusion complex (B), inclusion complex (C), and β-CD (D)

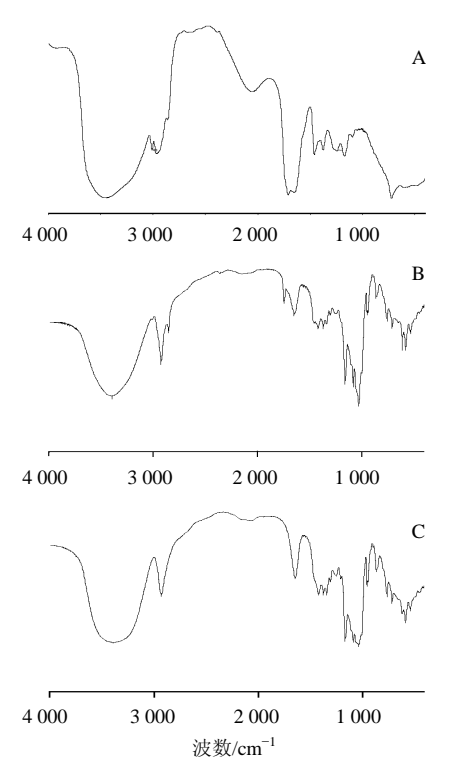


图 2 椒目油和 β-CD 混合物 (A)、椒目油 β-CD 包合物 (B)、空白 β-CD (C) 的红外吸收图谱

Fig. 2 IR spectra of zanthoxylum seed oil and  $\beta$ -CD mixture (A), zanthoxylum seed oil  $\beta$ -CD inclusion complex (B), and blank  $\beta$ -CD (C)

分子空腔内部,椒目油包合物的红外吸收与 β-CD 的红外吸收呈现一定的相似性,但二者的红外吸收并不完全相同,并不是同一物象。

2.3.3 X-射线衍射(XRD)法 分别取少量空白

β-CD、椒目油 β-CD 包合物、按包合物比例制备的 β-CD 和椒目油混合物。以扫描角度作为横坐标,衍射强度作为纵坐标,各样品 XRD 测定结果见图 3。由 XRD 图可知,空白 β-CD 的衍射峰较混合物的衍射峰,在衍射强度上有一些不同,这主要是受物理混合物中椒目油的影响,但峰形基本相同。包合物的衍射峰则与前两者峰形有明显不同,首先是出现了一些新的峰,如在  $2\theta$ =10°、12.5°、18°、24°左右的峰发生了裂分或出现了新的峰,其次空白 β-CD 和物理混合物在 26°、35°有吸收峰,在包合物中则消失或减弱<sup>[7-8]</sup>。由此说明椒目油包合进入 β-CD 分子空穴内,形成了一个新物象,包合物已形成。

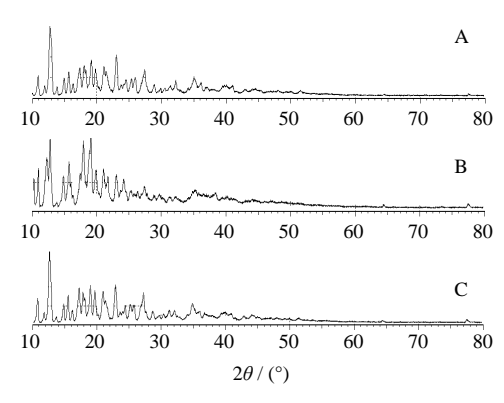


图 3 β-CD 和椒目油混合物(A)、椒目油 β-CD 包合物(B)、空白 β-CD (C) 的 XRD 图

Fig. 3 XRD patterns of zanthoxylum seed oil and  $\beta$ -CD mixture (A), zanthoxylum seed oil  $\beta$ -CD inclusion complex (B), and blank  $\beta$ -CD (C)

## 3 讨论

超临界萃取技术因具有提取温度低,产品不存在热分解问题,特别适合热敏性成分的提取与分离;提取效率高,选择性强;产品无溶剂残留,无环境污染等诸多优势,因而被高度关注并广泛应用于中药有效物质的提取、分离,并形成了产业化发展。目前主要用于提取中药亲脂性成分,包括脂肪油、挥发油类等,与传统的水蒸气蒸馏法等挥发油提取技术相比,在产品质量、提取得率、生产周期等方面均具备极大优势,展现了广阔的应用前景。

赵红等<sup>[9]</sup>采用 GC-MS 分析了椒目超临界提取物中挥发性成分的组成,结果表明其挥发性成分主要由烷烯类组成,相对量较高者为β-蒎烯、α-蒎烯、4-甲基-1-异丙基-3-环己烯-1-醇和十三酸,上述成分占挥发油总量的77.78%。烷烯类成分易发生氧化、

分解而失活,且液体制剂稳定性较差。β-CD 包合技术因具有提高药物稳定性,使液态药物粉末化,便于制成质量稳定的固体制剂、靶向制剂等优势而被广泛应用于包合中药挥发油。目前大部分研究是采用水蒸气蒸馏法提取中药挥发油并制备 β-CD 包合物,而对中药超临界提取物的 β-CD 包合技术研究鲜见报道,因此亟需解决 β-CD 包合中药超临界提取物的技术问题,促进并推动中药现代化。

本研究首先通过预试验,以包合物收率及油利用率为指标,比较了研磨法、饱和水溶液法两种包合物制备方法,选择了采用饱和水溶液法制备椒目超临界 CO<sub>2</sub> 提取油包合物。采用正交试验设计优化了包合工艺,确立了合理、稳定、可行的 β-CD 包合物制备工艺,达到了较高包合物收率(91.70%)。采用 UV、IR、XRD 法对包合物进行了验证和鉴别,结果显示包合物形成了一个新的物象。该研究结果可以为其他中药超临界 CO<sub>2</sub> 提取挥发油的 β-CD 包合提供参考,为椒目超临界提取油的进一步开发提供基础。

#### 参考文献

- [1] 江苏新医学院. 中药大辞典 [M]. 下册. 上海: 上海人 民出版社, 1977.
- [2] 金赛红,谢强敏,沈文会,等. 喘宁软胶囊对嗜酸性粒细胞和肥大细胞的抑制作用 [J]. 中草药, 2002, 33(3): 242-244.
- [3] 金赛红,谢强敏,陈季强,等.喘宁软胶囊对多形核粒细胞生成和释放白三烯的抑制作用[J].中草药,2003,34(3):244-247.
- [4] 许家鸾, 蒋剑平, 陈 琳, 等. 正交设计法优选椒目超临界 CO<sub>2</sub> 流体萃取工艺 [J]. 中华中医药学刊, 2010, 28(2): 348-349.
- [5] 宋 康, 柴秀娟, 骆仙芳, 等. 椒枝软胶囊的药效实验 研究 [J]. 浙江中医学院学报, 2003, 27(4): 62-65.
- [6] 曹 毅, 张春椿, 熊耀康. 皮炎净颗粒剂中挥发油的提取及包合工艺研究 [J]. 中国现代应用药学杂志, 2009, 26(2): 130-133.
- [7] 李 香, 林秀丽. 环糊精包合物表征手段的研究进展 [J]. 食品与药品, 2007, 9(7A): 35-39.
- [8] 宋洪涛, 郭 涛, 赵明宏, 等. 苏合香 β-环糊精包合物 的理化性质考察 [J]. 中草药, 2002, 33(6): 500-502.
- [9] 赵 红,宋爱华,赵余庆. 椒目超临界提取物中挥发性成分的气相色谱-质谱分析 [J]. 中草药, 2009, 40(9): 1382-1383.